# 拓宽(含)金重砂异常的应用途径

## 以华北地台北缘东段为例

#### 卫万顺

#### (武警黄金地质研究所)

(含) 金重砂异常具有面积性特点, 测量中产生的误差多为 系统 误差,故不仅可用于普查找金,还可以解决成矿大地构造环境、预测 金矿(化)类型,以及估计矿(化)体位置等方面的问题。

关键词:含金重砂异常,成矿大地构造单元,金矿化类型

含金重砂异常的形成是十分复杂的。它 受大地构造环境、地形、气候、残坡积层中 的Fe<sup>2+</sup>-Fe<sup>3+</sup>含量、pH、Eh、渗透性、有 机化合物等因素的制约。不同条件下形成的 含金重砂异常具有不同的矿物组合,自然金 的标型特征亦不相同。因此、含金重砂异常 不仅可以用于普查找金,还可根据其矿物组 合及金的标型特征预测成矿大地构造环境、 金矿化类型和矿(化)体位置。

## 成矿大地构造环境分析

华北地台北级东段 (面积 96000km²) 按地质特征可分为3个成矿大地构造单元, 即吉南台隆、台槽过渡带和吉林褶皱带,三 者含金重砂异常特征明显不同。

## 1. 重砂异常对构造层和构造单元有明 虚的依赖性和继承性

由于3个成矿大地构造单元所经历的地 壳运动期次和强度不同, 所具有的构造层也 不同。构造层多者含金重砂异常分布广泛, 重砂异常的组份亦较复杂。在吉南台隆、台 槽过渡带和吉林褶皱带中,含金重砂异常的 数目分别为该区异常总数的55.07%、 26.09%和18.84%。

## 2. 重砂异常中伴生矿物共生组合可反 映成矿大地构造环境的差异(图1)。

- (1)产于稳定地台环境中的含金重砂 异常,矿物组合以自然金、角闪石、辉石、 尖晶石、绿帘石、泡铋矿、褐铁矿等为特征。
- (2)产于台槽过渡带的含金重砂异常 以自然金、磁铁矿、重晶石、辉锑矿、雄 黄、黄铁矿、黄铜矿、方铅矿、榍石为特征 组合。
- (3)产于吉林皱褶带的含金重砂异常 特征矿物组合为赤铁矿、自然金、石榴石、 锡石、白钨矿、榍石等。

## 3. 自然金的形态特征可反映成矿大地 构造环境

本文将华北地台北缘东段1500个含金重 砂异常中的394个异常点的自然金 形态 投在 三角图中(图2)。由图中可以看出:

- (1) 地台区重砂异常中自然金形态较 复杂、粒状、片状和板状(厚柱状)均有。
- (2) 地槽区重砂异常中自然金形态多 为粒状或不规则粒状,极个别为树枝状。
- (3)台槽过渡带重砂异常中自然金有 粒状和片状两种。

由此可见:从地槽区→台槽过渡带→地 台区,含金重砂异常中的 自然 金形 态从粒

	构造分区		华北地台	北坡北	k段⟨总{	<b>本)</b> 、			古南台	*	台槽	过渡	吉林	指皱带
矿物及特	が変換したり	10	20	30	40	50	60	16	20	30	10	20	10	
	金													
摄	第石									7///			01111	<u> </u>
<b>程</b>	尖晶石	3						<u> </u>						
极稳定矿物	金红石	111111											<u>N</u>	
物	掲帙矿	12						13			1		1	
	赤铁矿	11111						3					B	
	供铁矿								3		1/2		1/4	
	磁铁矿	11114,	,,,,,,,				-	11114,	<u> </u>		<u> </u>	ı,	1,,,_	
確定矿物	帽石	11113						<i>3,,,,</i>			N -	4		
	重晶石	71111	1					11/1			1/4	- 11	1	
<b>10</b> 0	独層石	<del>//////</del>	<del>}</del> -					11/1/4	77	<del>- `\\</del>	1/4	<del>7 \</del>	<del>N</del> —	
	備石	444			57		55Y	3,,,,	< T	لا م ا			1/4	
较	白鹤矿	Till		775		1	7 \ \	MIL	12-2		///		13	
整	石榴石	44.7	777778	+	4-	<del>-//</del>		11777	4				<del>1</del>	
较稳定矿物	銀帘石	13.1	7	-7	-\-			<u> </u>			1		1	
物	森灰石	11111	IIII	_				11111	3		13		1/4	
	方铅矿	444	1111					<u> </u>			13		19	
	長砂	444	THE	11/1/2				11/11/	111117		14/14		1//	
,	盘砂	11114	<i>,,,,,,</i>	,,,,,,				<i>113777</i>	777777		9,,,,,		8,,,	
丕	黄铁矿	HHH	77777					1111			1/1/1/3		17:74	
不稳定矿物	牌石	4						<b>9</b> ,,,,			1/1/1/1		1,,,,,	
<b>*</b>	角闪石	1/1/1/2						1/1/2	•		1		13	
<del>17</del> 7	黄铜矿	19,,,,						13,			_		14,	
	ieter	<i>\$</i> }			<del>-</del>			$\beta$			1		1	
	解锑矿	<u> </u>					-	H,			4		<del>                                     </del>	
	堆黄	11/11						<u> </u>			<del> </del>		<del>                                     </del>	

图 1 华北地台北缘东段不同构造单元重砂异常矿物共生组合及发育程度

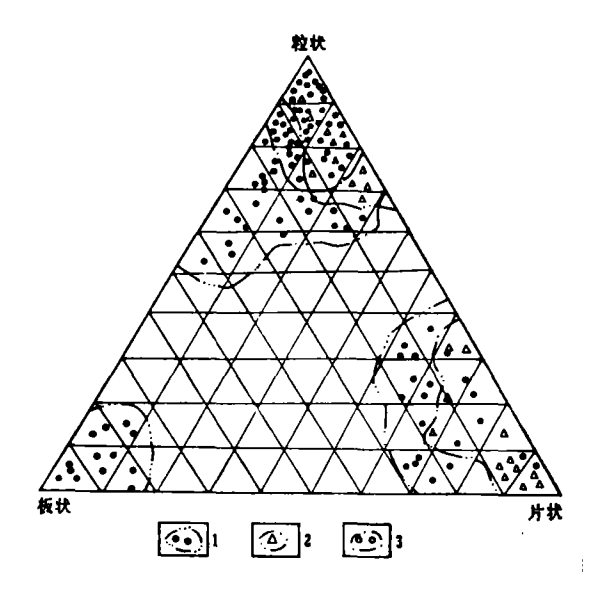


图 2 自然金形态与大地构造环境的关系

1—地台区自然金形态及分布区,2—台槽过渡带 自然金形态及其分布区,3—地槽区自然金形态 及其分布区 状→粒状、片状→粒状、片状、板状,表现 出构造层越多,自然金形态越复杂,体现了 重砂异常中自然金形态对成矿大地构造环境 的依赖性和继承性。因此,可根据含金重砂 异常的分布规律、矿物共生组合及自然金标 型特征等,分析成矿大地构造环境。

### 金矿(化)类型预测

大量统计资料表明,金矿化类型与含金重砂异常之间有一定的成生和对应关系。下表列出了华北地台北缘东段9个不同类型金矿床及其所对应的含金重砂异常特征。据此,可预测未知区的金矿化类型。

### 1. 太古界鞍山群变质岩系中的变质热 液型金矿(1类)

所对应含金重砂异常类型为单金或金一

金矿(化)機関与(合)金属砂果物対反機

		# # #			(4) 金 (	非明相合	角		
4	製料		為原務的	<b>新料</b>	茶件好酱盆令	自	自然金标型特征		金矿(化)类型预测标志
				K ≅		易機	超	校径 (mm)	
<b>東</b>	来皮為式	稳定地台区	图岩为太古界 軟山群三道為组	<b>4</b> 8	皓石、黄铁矿、独居石、辰砂、金红石、桐石、 旧名 在 名 名 名 名 名 名 名 名 名 名 名 名 名	粒状、板状、 厚饼状	金黄色、深棕黄色、深	0.1~1	以伴生矿物组合、板状、属 饼状自然金及琛棕黄色为新
4. 茶 茶	石棚為式	稳定地台区	图岩为太古界 <b>乾</b> 山群三道沟纽	<b>4</b> 8	辰砂、雄貴、黄铁矿	粒伏、片状	金黄色、深黄色、深	0.1~0.2	伴生矿物组合
型 (王	金城網式	稳定地台区	太古界甲山组	金一辰砂	黄铁矿、锆石、钛铁矿	粒状、帯梭 角的片状	金黄色、深黄色	0.1~0.2	异常类型、矿物组合、大壤 构造环境、地质特征
<b>*</b> K)	4	稳定地台区	元古界老岭群	<b>4</b> 9	辰砂、磁铁矿、锆石、横石	粒状、板状	金黄色、深黄色	0.1~0.2	异常类型、矿物组合、大地 构造环境、地质特征
变质热液型	海	超	志留一紀盆系 呼兰群	<b>₽</b>	皓石、黄铁矿、白钨 矿、辰砂、黄铜矿、方 铅矿、角闪石	粒块、片状	金黄色、深黄色	0.1~0.8	异常类型、矿物组合、大 <u>地</u> 构造环境、地质特征
光 (日代)	春 山 代	想知	奥陶系石缝组 及华力西期花岗 岩	金一方铅矿一白钨矿	籍石、黄铁矿、独居 石、辰砂、电气石	粒状、片状	金黄色、尕黄色	0.1~0.2	异常类型、矿物组合、大编 构造环境、地质特征
动力变质热液型	二道甸子式	活动地槽区	一 叠 系	<b>金一毒砂一</b> 辰砂	皓石、磷灰石、白钨 矿、钛铁矿、黄铁矿、 角闪石	\$ <del>4</del>	企黄色、深黄色、深	0.2~0.3	异常类型、矿物组合、大堆 构造环境、地质特征
火山 <b>為</b> 被型	五人五人	活动地櫓区	*************************************	⋪	重晶石、方铅矿	粒	金黄色、深黄色	0.1~0.5	异常类型、矿物组合、大地 构造环境、地质特征
次 松 松 格	香炉碗子式	   稳定地台区 	燕山期中酸性次火山岩	<b>4</b>	结石、独居石、钛铁矿	不规则粒状,薄片粒状	金黄色、深 黄色	0.1~0.5	异常类型、矿物组合、大炮 构造环境、地质特征

往,【类指产于太古界、元古界地层中的变质热液型金矿,【类指产于下古生界地层中的以热变质为主的变质热液型金矿。

辰砂异常,伴生矿物为锆石、黄铁矿、辰 砂、雄黄、独居石、金红石、榍石、电气 石; 自然金形态为粒状、片状、厚板状(饼 状),颜色为金黄色、深棕黄色;粒径0.1~ 1mm, 粒径标准离差为0.32。据此认为, 在 桦甸三道溜河、五间房一带有望找到夹皮沟 式的金矿,应加强金矿找矿工作。

## 2. 元古界老岭群碳酸盐岩中的变质热 液型金矿

异常类型为单金异 常; 伴生 矿 物有辰 砂、磁铁矿、榍石、锆石; 自然金形态为板 状、粒状,自然金多为金黄色; 粒径 0.1~ 0.2mm, 粒径标准离差为0.05。 该 区 含金 重砂异常的分布特征表明, 应在板石沟断裂 带附近寻找此类矿床。

## 3. 地台区次火山岩(印支—燕山期) 中的金矿

异常类型为单金异常,伴生矿物组合为 锆石、独居石、钛铁矿; 自然金形态为不规 则粒状及薄片粒状,呈金黄色;粒径0.1~ 0.5mm, 粒径标准离差为0.25。寻找此类矿 床的有利地带为梅 河 口市 倒木 沟一卧龙一 带。

## 4. 台槽过渡 带中的 变质 热 液型金矿 (【类)

异常类型为单金或金一方铅矿一白钨矿 异常两类; 矿物组合为锆石、黄铁矿(白钨 矿)、辰砂、黄铜矿、方铅矿、角闪石、独 居石、电气石、自然 金; 自然 金形 态为片 状、粒状, 呈金黄色; 粒径 0.1~0.8mm, 粒径标准离差0.29。据此,预测呼兰镇一郭 家庄、金银别一带是寻找该类金矿的有利地 带。

#### 5. 地槽区的动力变质热液型金矿

重砂异常类型为金一毒砂—辰砂异常, 伴生矿物组合为锆石、磷灰石、白钨矿、钛 铁矿、黄铁矿、角闪石; 自然金呈粒状, 金 黄色; 粒径0.2~0.3mm, 粒径标准离差 0.05。找此类金矿的有利地段是二道甸子金

矿外围的金锑矿点分布集中区。

#### 6. 地槽区的火山热液型金矿

重砂异常类型为单金异常, 伴生矿物为 重晶石、方铅矿; 自然金呈粒状, 金黄色, 粒径0.1~0.5mm,粒径标准离差0.28。 找 该类型金矿的有利地带是安田一车林一带。

#### 矿(化)体位置的估计

含金重砂异常区与金矿床在位置上往往 有一定位移。实践证明,根据异常的伴生矿 物组合及自然金标型特 征, 可大 致 估计矿 (化) 体位置。为此引入一个距离系数 〔L----矿(化) 体到含金重砂异常中心 的距 离〕;L与伴生矿物组合  $(K_1)$ 、自 然 金 形 态  $(K_2)$ 、粒径  $(K_3)$  和颜色  $(K_4)$  之间 有一定的相关关系。大量的统计资料表明, L越小, $K_1$ 、 $K_2$ 、 $K_3$ 、 $K_4$ 对其指示意义 越大。

#### 1. 伴生矿物组合K1与L的关系

 $K_1$ 表征异常中重砂矿物稳定 性差 异, 它随不稳定矿物的增多而变大。因此,只有 金与不稳定重砂矿物密切伴生时(即  $K_1$  较 大时), 才对L有指示意义。据150个含 金重 砂异常中金与其他重 砂矿 物含 量相 关性分 析,发现金与黄铁矿、辰砂、方铅矿、泡铋 矿密切伴生时,一般 异常 距 矿(化)体 较 近,即L值小,约15~400m。

#### 2、自然金形态K2与L的关系

在该工作区内,含金重砂异常中自然金 的形态与金矿化强度 (T) 和距离系数 (L)有密切关系(图3)。矿化强度是以杨尔煦 提出的 (1990)  $Q = A/S(kg/km^2)$  为依 据,其中A为金矿床总量,S 为 i 水 盆 地 面积。我们在统计时将 A 分 为 两 部 分, 即 $A_1$ 为已探明的金储量; $A_2$ 为 利 用 丰 度 值法计算出的潜在资源量。故金 矿 化 强 度  $T=(A_1+A_2)/S$ 。由图 3 可以看 出, 自然 金形态从片状→粒状→板状 (饼 状)→粗粒 (砾) 状, 金矿化强度增大, 距 离 系 数 L

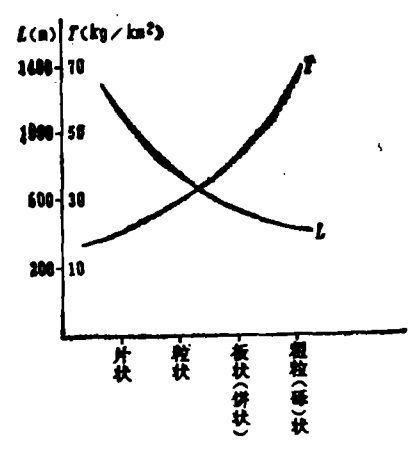


图 3 自然金形态与L和T的关系

减小。一般来讲, 若异常中自然金呈板状或 粗粒(砾)状, 距离系数不大于500m。

#### 3. 自然金颜色K3与L的关系

本区自然金的颜色有黄色、金黄色、棕黄色、深黄色、深棕黄色等。 统计结 果表明,无望地段(异常 检查后 确认)、无矿(化)点地段、有矿点地段、有矿床地段含金重砂异常中呈金黄色的自然金分布频率有明显不同(图4)。因此,重砂异常中呈金黄色的自然金较多时,不能肯定是 矿致异常,或者是距矿床距离较远(>500m)。

通常近矿的异常其自然 金颜 色以 深棕 黄、棕黄、深黄色为主。据统计,本区39个已知矿床引起的重砂异常中有23个其自然金颜色以深棕黄色、棕黄色、深黄色为主。

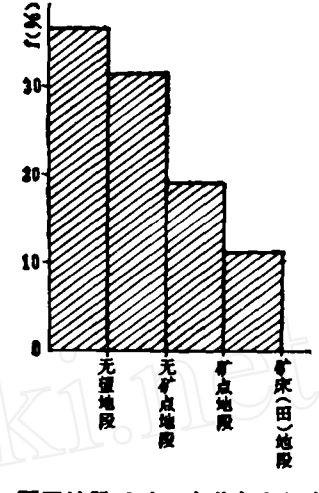
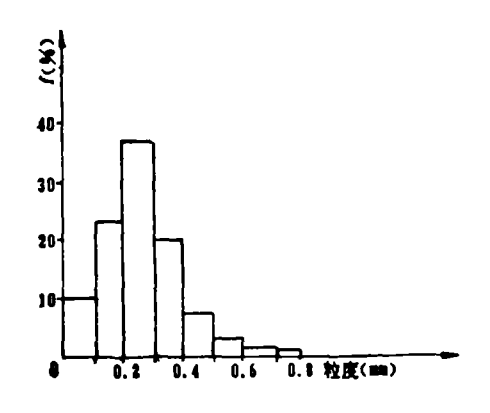


图 4 不同地段重砂中金黄色自然金分布 频率直方图

## 4. 自然金粒 度 K 4 与L 及矿化强度的 关系

本区含金重砂异常中自然金粒度(一般具系统误差,如所在环境大体相同,人为性误差——重砂淘洗重量及采样密度等造成)分布直方图(图5左)表明,粒径以0.1~0.4mm者居多,而且自然金的粒度越大,表明金的矿化强度亦大(图5右),异常距矿床(点)的距离越小。

我国在1/20万区测过程中获得了大量的 含金重砂异常,拓宽其应用途 径 对 金 矿找 矿、研究成矿大地构造环境、预测金矿(化)



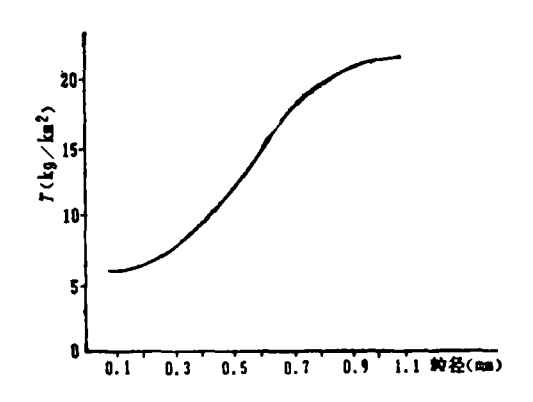


图 5 含金重砂中自然金粒度分布(左)及其与金矿化强度(右)的关系

(下特第60页)

#### 算,只需验算基地强度即可。

(3) 按经验法计算容许承载力

根据大量的室内外试验和实际 建 筑 经 验,粗略地概括出各种土层在不同条件下的 承载力数值,采用数理统计加经验的办法,也 称查表法。其方法是采用不同类型的地基土 容许承载力时,可根据野外鉴别结果和地基土的物理力学指标或标贯锤击数,即可从规 范中查出容许承载力数值,供建筑设计参考。

# 工程地质勘察报告 的审阅

- 1.根据任务委托书和勘察纲要规定的项目、内容、工作量和特殊要求,全面细致地阅读图表及文字说明,检查钻孔位置是否正确,有关物理力学指标是否合理,有无漏项;研究分析报告的工程地质评价,结合上部结构类型与荷重,确定地基持力层位置及基础设计方案,包括地基处理的建议是否合理,有无疑点。
- 2. 检查核实原始资料的完整性和可靠性, 图表的规范化程度, 并对照结论、建议, 看有无自相矛盾之处。
- 3. 对其中地基容许承载力的审定,应按地基基 础 设 计 规 范  $(TJ_7-74)$  确 定 如下:
  - (1) 以载荷试验作为确定地基承载力

的标准方法。

- (2)对于重要建筑物(一级建筑物,如有重大纪念性的大型建筑物或构筑物、对基地变形有特殊要求的建筑物或构筑物)以及建筑物各单元的高度、荷重、刚度或基础埋深相差悬殊者,应以荷载试验、公式计算和当地实践经验等为主,结合旁压试验、触探试验综合考虑,以确定其地基容许承载力。
- (3)一般公用或民用建筑物、工作地基变形计算范围以外的二级建筑物,以公式结合土的物理力学指标、标准贯入、轻便触探或野外鉴别确定的承载力设计值综合评定。其余二级建筑物,可按(内摩擦角年。设计值和岩石承载力9、设计值)规范查表或其他原位测试确定其容许承载力。
- (4) 次要建筑物(即三级 建 筑物), 可结合邻近建筑物的经验确定。
- 4. 勘察报告经上述程序审查后,须由 负责审定的责任工程师签署意见并签名。

#### 多考文献

- [1]中国建筑科学院勘察技术研究所,工程勘察,1986,第2期。
- [2]工程地质手册编写组、《工程地质手册》,中国建筑工业出版社,1987年。
- [3] 孙更生等,《软土地基与地下工程》,中国建筑工业出版社,1987年.
- [4] 沈克仁等,《地基与基础》,中国建筑工业出版 社,1987年。
- [5]沈杰,《地基基础设计手册》,上海科学技术出社版,1985年。

(上接第54页)

类型、估计矿(化)体位置等方面有重要的 实际意义。笔者在这方面仅作了初步尝试, 有不少问题尚待进一步研究和探讨。 成文过程中,田澍章高级工程师、檀国平同志曾提出许多宝贵意见,并参阅了有关单位和同志的许多资料,在此一并致谢。

Widen the Application Scope of Au-bearing Heavy Sand

Anomaly: Taking the Eastern Section at the Northern Fringe of the North China Platform as an Example

Wei Wanshun

Gold bearing heavy sand anomalies are characterized by their areal extent, with a majority of them having systematic error. They are used not only for gold ore exploration, but also for solving problems on metallogenic tectonic environment, gold ore (mineralization) type prognosis and orebody (mineralization) position locating.